



Technical University of Cluj - Napoca
Computer Science Department

Interactiune Om-Calculator

Curs 6

Potrivirea si urmarirea trasaturilor in secvente de imagini
(Features matching & tracking)



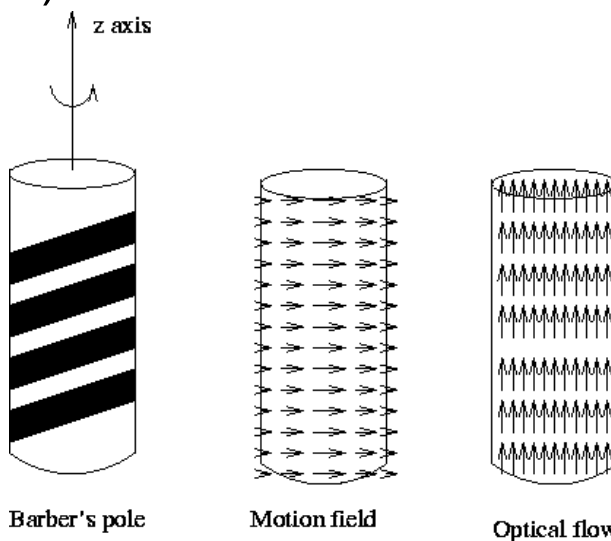
Campul de miscare si fluxul optic

Camp de miscare (motion field) := setul vectorilor (vitezelor) de miscare ale punctelor din imagine (2D) induse de miscarea relative dintre scena (obiectele scenei) si camera

- nu este masurabil direct din imagine !

Fluxul optic (optical flow) := miscarea aparenta a paternurilor de intensitate din imagine

- se poate masura direct din imagine
- este o aproximare a campului de miscare cu o rata de eroare mica in puncte cu gradient mare (daca directia gradientului si directia miscarii coincid)





Masurarea campului de miscare

1. Detectia unor trasaturi relevante (fara ambiguitati de pozitionare) in fiecare imagine

- trasaturi primare: colturi [muchii]

- trasaturi complexe: obiecte

2.Potrivirea acestor trasaturi in imagini succcesive

- potrivirea (matching) intre 2 imagini consecutive

- urmarirea (tracking) in imagini consecutive multiple



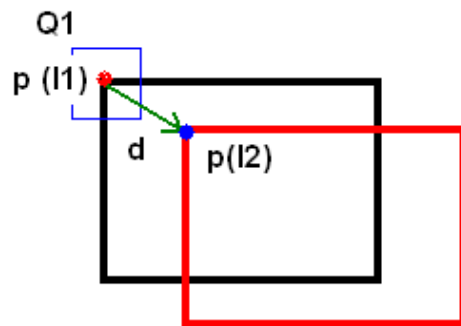
Potrivirea trasaturilor in imagini succesive

Algoritmul FEATURE_POINT_MATCHING [1] (Trucco)

- Derivat din algoritmul de optical flow CONSTANT_FLOW (bazat pe metoda least squares)
- Aplicare pe coltrui (Harris, KLT)
- Se aplica pe 2 imagini succesive I_1 si I_2 dintr-o secventa

Idee:

- Pt. fiecare punct de interes p din imaginea $I_1(t-1)$ se considera o fereastră $Q_1(N \times N)$
- Se cauta deplasamentul d al acestui punct in imaginea $I_2(t)$





Potrivirea trasaturilor in imagini succesive

Algoritmul FEATURE_POINT_MATCHING [Trucco]

Pentru fiecare punct de interes $\mathbf{p}(x_2, y_2)$ din imaginea I_2 :

1. Se seteaza $d = 0$ si se centreaza Q_1 la locatia $\mathbf{p} = \mathbf{p} + d$ in I_1
2. Se estimeaza $d_0 = [-v_x, -v_y]$ folosind algoritmul de optical flow:

si se actualizeaza d : $d = d + d_0$

$$\mathbf{v} = \left(A^T A \right)^{-1} A^T B$$

3. Fie Q' fereastra din I_1 centrata in $\mathbf{p} + d_0$. Se calculeaza diferenta S (SAD sau SSD) intre ferestrele Q_2 si Q' :

$$S_{SAD} = \sum_{i=-\frac{w}{2}}^{\frac{w}{2}} \sum_{j=-\frac{w}{2}}^{\frac{w}{2}} |I_1(x_1 + i, y_1 + j) - I_2(x_2 + i, y_2 + j)|$$

4. Daca $S > Th \Rightarrow Q_1 = Q'$ si salt la pasul 1. Altfel ($S < Th$) \Rightarrow exit

Output: Set de deplasamente d pentru toate punctele de interes din imagine



Potrivirea trasaturilor in imagini succesive

Lucas Kanade Feature “Tracker” (impl. piramidala)

http://robots.stanford.edu/cs223b04/algo_tracking.pdf

$u(x,y)$ – punct in imaginea I (t) \rightarrow locatia $v = u+d$ in imaginea J (t+ Δt) ???

Scop: gasirea vectorului de deplasament \mathbf{d}

Solutia pt \mathbf{d} : minimizarea functiei reziduale e

$$\epsilon(\mathbf{d}) = \epsilon(d_x, d_y) = \sum_{x=u_x-\omega_x}^{u_x+\omega_x} \sum_{y=u_y-\omega_y}^{u_y+\omega_y} (I(x, y) - J(x + d_x, y + d_y))^2 .$$

Calcul flux optic prin metoda Lucas – Kanade printr-un algoritm iterativ pe o piramida de imagini



LKT piramidal - initializari

Initializari:

- Construieste reprezentarea piramidala a imaginilor I si J:

$$\{I^L\}_{L=0,\dots,L_m} \text{ and } \{J^L\}_{L=0,\dots,L_m}$$

m – nivelul piramidei (L=0 – rezolutia initiala)

$$L_m = 2, 3, 4$$

- Imaginea de la nivelul L se obtine din cea de la nivelul L-1 prin decimare ponderata (gaussiana)

- Coordonatele lui u in piramida:

$$\mathbf{u}^L = \frac{\mathbf{u}}{2^L}.$$

$$\begin{aligned} I^L(x, y) &= \frac{1}{4} I^{L-1}(2x, 2y) + \\ &\frac{1}{8} (I^{L-1}(2x-1, 2y) + I^{L-1}(2x+1, 2y) + I^{L-1}(2x, 2y-1) + I^{L-1}(2x, 2y+1)) + \\ &\frac{1}{16} (I^{L-1}(2x-1, 2y-1) + I^{L-1}(2x+1, 2y+1) + I^{L-1}(2x-1, 2y+1) + I^{L-1}(2x+1, 2y-1)). \end{aligned}$$



LKT piramidal – notatii

Functia reziduala pentru calculul lui d la nivelul L

$$\epsilon^L(\mathbf{d}^L) = \epsilon^L(d_x^L, d_y^L) = \sum_{x=u_x^L-\omega_x}^{u_x^L+\omega_x} \sum_{y=u_y^L-\omega_y}^{u_y^L+\omega_y} (I^L(x, y) - J^L(x + g_x^L + d_x^L, y + g_y^L + d_y^L))^2.$$

Obs: fereastra de integrare are dimensiune constanta pt orice nivel L al piramidei: $(2\omega_x + 1) \times (2\omega_y + 1)$

→ se pot calcula valori mari ale fluxului optic cu efort de calcul mic (constant)

Calculul fluxului optic (rezidual):

$$\mathbf{g}^{L-1} = 2(\mathbf{g}^L + \mathbf{d}^L). \quad \begin{array}{l} \mathbf{g} - \text{estimarea initiala la nivelul } L \\ \mathbf{d} - \text{masuratoarea de la nivelul } L \end{array}$$

$$\mathbf{d} = \sum_{L=0}^{L_m} 2^L \mathbf{d}^L.$$

$$\mathbf{g}^{L_m} = [0 \ 0]^T.$$

.....

$$\mathbf{d} = \mathbf{g}^0 + \mathbf{d}^0.$$



LKT piramidal – algoritm

For $L = L_m$ **down to** 0 (step -1) // pentru fiecare nivel L din piramida

Punctul $u(x,y)$ va avea in imaginea I^L coordonatele: $\mathbf{u}^L = [p_x \ p_y]^T = \mathbf{u}/2^L$

Se calculeaza derivatele imaginii I^L :

$$I_x(x, y) = \frac{I^L(x + 1, y) - I^L(x - 1, y)}{2}$$

$$I_y(x, y) = \frac{I^L(x, y + 1) - I^L(x, y - 1)}{2}$$

Matricea de autocorelatie:

$$G = \sum_{x=p_x-\omega_x}^{p_x+\omega_x} \sum_{y=p_y-\omega_y}^{p_y+\omega_y} \begin{bmatrix} I_x^2(x, y) & I_x(x, y) I_y(x, y) \\ I_x(x, y) I_y(x, y) & I_y^2(x, y) \end{bmatrix}$$

Initializare algoritm LK iterativ (fluxul optic):

$$\vec{v}^0 = [0 \ 0]^T$$



LKT piramidal – algoritm OF / piramida L

Algoritm LK iterativ (calculul fluxului optic pt. fiecare L)

For $k=1$ **to** K (step 1) (sau $\|\eta^k\| < th$) // ex: $th = 0.03$ sau $K=20$

Imaginea diferenta:

$$\delta I_k(x, y) = I^L(x, y) - J^L(x + g_x^L + \nu_x^{k-1}, y + g_y^L + \nu_y^{k-1})$$

Vector eroare imaginii:

$$\bar{b}_k = \sum_{x=p_x-\omega_x}^{p_x+\omega_x} \sum_{y=p_y-\omega_y}^{p_y+\omega_y} \begin{bmatrix} \delta I_k(x, y) I_x(x, y) \\ \delta I_k(x, y) I_y(x, y) \end{bmatrix}$$

Corectia pt. fluxul optic:

$$\bar{\eta}^k = G^{-1} \bar{b}_k$$

Fluxul optic la pasul k:

$$\bar{\nu}^k = \bar{\nu}^{k-1} + \bar{\eta}^k$$

End (for k)



LKT piramidal – algoritm

Fluxul optic final la nivelul L:

$$\mathbf{d}^L = \bar{\nu}^K$$

Estimarea pentru nivelul L-1 (urmator):

$$\mathbf{g}^{L-1} = [g_x^{L-1} \ g_y^{L-1}]^T = 2 (\mathbf{g}^L + \mathbf{d}^L)$$

End (for L ...)

Vectorul de fluxul optic final:

$$\mathbf{d} = \mathbf{g}^0 + \mathbf{d}^0$$

Locatia corespondenta in imaginea J:

$$\mathbf{v} = \mathbf{u} + \mathbf{d}$$

Implementare OpenCV: calcOpticalFlowPyrLK

Input: set de trasaturi (colturi) – ex. goodFeaturesToTrack



Exemplu de aplicatie pentru asistenta condunderii autovehiculelor

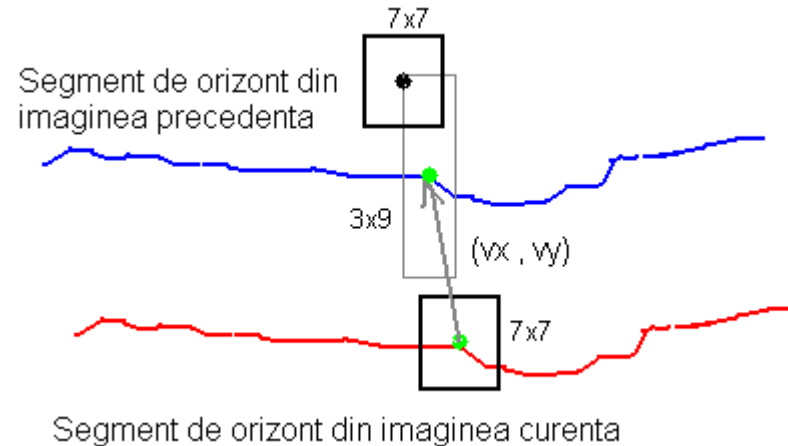
- Estimarea inclinarii dinamice a unei camere montate pe un autovehicul in miscare
- Urmarirea unor trasaturi (puncte) aflate la distanta mare (distanța se poate aproxima la infinit in raport cu deplasamentul (trasnlatia) camerei intre cadre succesive
- Puncte aflate la infinit – puncte de pe linia orizontului intr-un scenariu de drum (oricare altul decat urban)



Estimare inclinarii dinamice (pitch) a unei camere mobile

Principiul metodei

1. Detectia liniei orizontului
2. Potrivirea in imagini succesive a unor segmente de pe linia orizontului
3. Potrivirea in imagini succesive unor puncte individuale de pe linia orizontului
4. Calculul campului de miscare al acestor puncte (matching)
5. Estimarea vitezelor unghiulare ale camerei

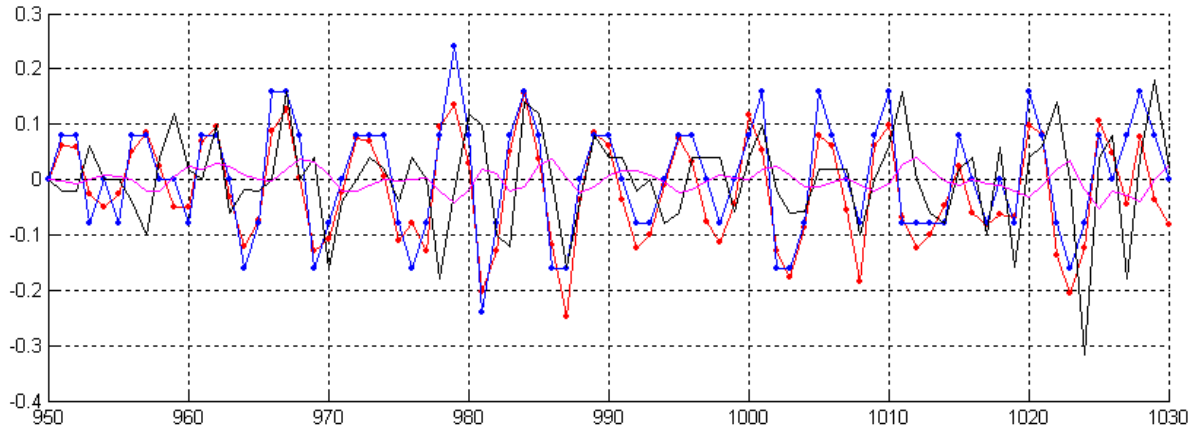


$$\begin{cases} v_X = \frac{-T_X f + T_Z X}{Z} + \omega_X \frac{xy}{f} - \omega_Y \left(\frac{x^2}{f} + f \right) + \omega_Z y \\ v_Y = \underbrace{\frac{-T_Y f + T_Z Y}{Z}}_{\text{Translatie} \rightarrow 0} + \underbrace{\omega_X \left(\frac{y^2}{f} + f \right) - \omega_Y \frac{xy}{f} - \omega_Z x}_{\text{Rotatie}} \end{cases}$$



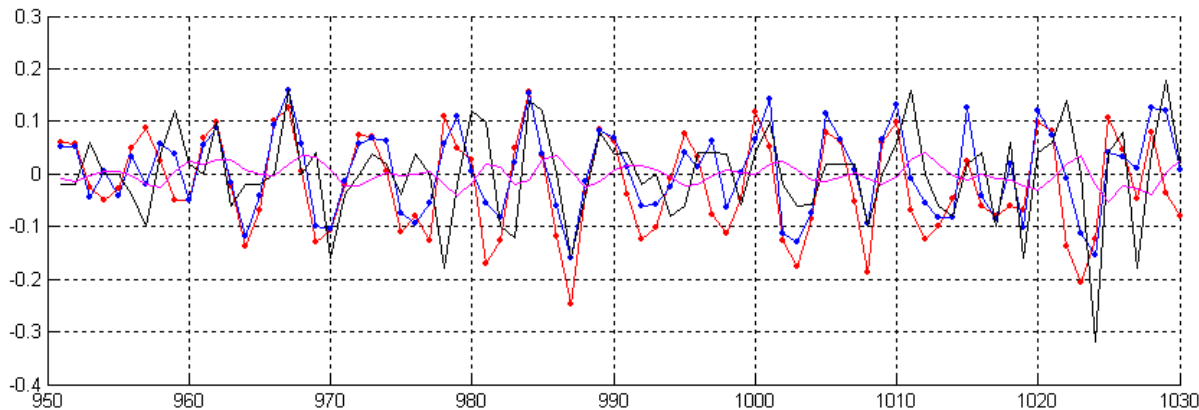
Estimare inclinării dinamice (pitch) a camerei

Rezultate



- Roșu - metoda liniei orizontului
- Albastru - modulul LD
- Negru - senzorii de înălțime ai suspensiilor

Variația unghiului de pitch [grd/cadru] în funcție de numărul cadrului



Variația unghiului de pitch [grd/cadru] în funcție de numărul cadrului.

In estimarea dată de modulul LD s-a folosit ca predicție măsurătoarea dată de metoda liniei orizontului



Estimare inclinarii dinamice (pitch) a autovehiculului

Rezultate





Tracking

Tracking := potrivirea (matching) / urmarirea trasaturilor in imagini consecutive multiple

Filtru Kalman – metoda de estimare optimala

⇒ Algoritm recursiv ce permite estimarea **pozitiei** si **incertitudinii** in imaginea urmatoare a unui punct / trasaturi aflate in miscare

pozitie := unde sa cautam

incertitudine := cat de mare trebuie sa fie regiunea in care sa cautam in jurul pozitiei prezise pentru a fi siguri ca gasim trasatura cu un anumit grad de confidenta

Filtru Kalman liniar

- model al sistemului
- model al masuratorii



Exemple aplicatii tracking

Exemple aplicatii Tracking:

<http://www.youtube.com/watch?v=vfglXdbEyUw&feature=related> (Kalman – ball)

http://www.youtube.com/watch?NR=1&v=lvmEE_LWPUc (Kalman – ball + oclusions)

<http://www.youtube.com/watch?NR=1&v=hxTVPzeLHiA> (Kalman – pendulum + ocl)

<http://www.youtube.com/watch?v=fRowYlxKt7s> (Kalman – humans)

<http://www.youtube.com/watch?NR=1&v=GC8O3G2uwE4> (Mean Shift – human)

<http://www.youtube.com/watch?NR=1&v=6G07zXQDV2c> (tennis ball)

<http://en.wikipedia.org/wiki/Hawk-Eye#Tennis> (patent)

<http://www.youtube.com/watch?v=-q5aXTg0pVE&feature=related> (finger tracking)

<http://www.youtube.com/watch?NR=1&v=iXPkXqU4WRE> (finger tracking)

<http://www.youtube.com/watch?NR=1&v=91tYEGpmN4M> (head tracking)

<http://www.youtube.com/watch?v=NCtYdUEMotg&feature=endscreen> (eye gaze tracking ([paper](#)))

<http://www.youtube.com/watch?NR=1&v=JmxDIuCIIcg> (car tracking)

<http://www.youtube.com/watch?NR=1&v=LNaL58GRou4&feature=endscreen>



Modelul sistemului

Un **sistem** este modelat prin:

- **Vector de stare:** $\mathbf{x}(t) = [x_1, x_2, \dots, x_n]^T$ - variabilele sistemului

- **Set de ecuatii: model al sistemului**

⇒ evoluția în timp a vectorului de stare

$$t_k = t_0 + k\Delta T$$

$$\mathbf{x}_k = \mathbf{x}(t_k)$$

$\Delta T \rightarrow 0 \Rightarrow$ model liniar (vectorul de stare nu se schimbă semnificativ la momente de timp consecutive):

$$x_k = \Phi_{k-1} x_{k-1} + \xi_{k-1}$$

ξ_{k-1} – vector aleator ce modelează zgomotul aditiv

Φ - matricea de tranziție a stărilor (n×n)



Modelul masuratorii

Se presupune ca la fiecare moment t_k se face o masuratoare (cu zgomot) a vectorului de stare (sau cel putin a catorva componente):

$$z_k = H_k x_k + \mu_k$$

z_k – vectorul de masuratori de la momentul t_k ($m \times 1$)

H_k – matricea de masuratori ($m \times n$)

μ_k – vector aleator care modeleaza zgomotul aditiv ($m \times 1$)

Zgomotul:

⇒ se presupune: *zgomot alb, aditiv, medie 0, distributie gaussiana*

⇒ *matrici de covarianta: sistem $\xi_k \rightarrow \mathbf{Q}_k$, masuratoare $\mu_k \rightarrow \mathbf{R}_k$*

http://en.wikipedia.org/wiki/Covariance_matrix,

<http://www.itl.nist.gov/div898/handbook/pmc/section5/pmc541.htm>



Matricea de covarianta

Exemplu: set de 5 masuratori / pentru un vector de 3 coordonate $[x_1, x_2, x_3]$

	x1	x2	x3	
$X =$	4.0	2.0	.60	mas1
	4.2	2.1	.59	mas2
	3.9	2.0	.58	mas3
	4.3	2.1	.62	mas4
	4.1	2.2	.63	mas5

Covarianta dintre coordonatele x_i si x_j :

Vectorul mediu:

$$\bar{x} = [4.10 \quad 2.08 \quad .604]$$

$$S_{ij} = \frac{1}{m} \sum_{k=1}^m (x_i^k - \bar{x}_i)(x_j^k - \bar{x}_j)$$

Matricea de varianta/covarianta:

$$S = \begin{bmatrix} 0.025 & 0.0075 & 0.00175 \\ 0.0075 & 0.0070 & 0.00135 \\ 0.00175 & 0.00135 & 0.00043 \end{bmatrix}$$

Varianta coordonatei x_i

$$S_{ii} = \frac{1}{m} \sum_{k=1}^m (x_i^k - \bar{x}_i)(x_i^k - \bar{x}_i)$$



Kalman Filter

Problema:= calculul celei mai bune aproximari a starii sistemului , $\hat{\mathbf{x}}_k$, la momentul t_k ,luand in considerare estimarea starii prezise de model la momentul t_{k-1} si masuratorile \mathbf{z}_k de la momentul t_k .

Algoritmul “Kalman Filter” [Trucco]:

$$P'_k = \Phi_{k-1} P_{k-1} \Phi_{k-1}^T + Q_{k-1} \quad (\text{A.11})$$

$$K_k = P'_k H_k^T (H_k P'_k H_k^T + R_k)^{-1} \quad \leftarrow \text{covarianta inovatiei} \quad (\text{A.12})$$

$$\hat{\mathbf{x}}_k = \Phi_{k-1} \hat{\mathbf{x}}_{k-1} + K_k (\mathbf{z}_k - H_k \Phi_{k-1} \hat{\mathbf{x}}_{k-1}) \quad \leftarrow \text{inovatie} \quad (\text{A.13})$$

$$P_k = (I - K_k) P'_k (I - K_k)^T + K_k R_k K_k^T \quad (\text{A.14})$$

\mathbf{K}_k - matricea de castig (gain)

$\mathbf{P}_k, \mathbf{P}'_k$ – matricile de covarianta ale starilor

\mathbf{P}'_k – covarianta estimari starii la t_k , $\hat{\mathbf{x}}'_k = \Phi_{k-1} \hat{\mathbf{x}}_{k-1}$ (predictie) in momentul imediat anterior masuratorii \mathbf{z}_k

\mathbf{P}_k – covarianta estimari starii la t_k , $\hat{\mathbf{x}}_k$ dupa integrarea masuratorii \mathbf{z}_k , cu predictia \mathbf{x}'_k

Modele cantitative ale incertitudinilor starilor \mathbf{x}'_k si \mathbf{x}_k



Kalman tracking

Urmărirea miscării unui punct/trasaturi in imagine

Modelul sistem

Pozitia: $\mathbf{p}_k = [x_k, y_k]^T$

Viteza: $\mathbf{v}_k = [v_{x,k}, v_{y,k}]^T$

Vect. stare: $\mathbf{x} = [x_k, y_k, v_{x,k}, v_{y,k}]^T$

$t_k = t_0 + k$ miscare cu viteza constanta \Rightarrow model: $\mathbf{p}_k = \mathbf{p}_{k-1} + \mathbf{v}_{k-1} + \boldsymbol{\xi}_{k-1}$
 $\mathbf{v}_k = \mathbf{v}_{k-1} + \boldsymbol{\eta}_{k-1}$

$$\mathbf{x}_k = \Phi_{k-1} \mathbf{x}_{k-1} + \mathbf{w}_{k-1}$$

$$\Phi_{k-1} = \begin{bmatrix} 1 & 0 & 1 & 0 \\ 0 & 1 & 0 & 1 \\ 0 & 0 & 1 & 0 \\ 0 & 0 & 0 & 1 \end{bmatrix} \quad \text{matricea de tranzitie a starilor}$$

$$\mathbf{w}_{k-1} = \begin{bmatrix} \boldsymbol{\xi}_{k-1} \\ \boldsymbol{\eta}_{k-1} \end{bmatrix} \quad \text{zgomotul sistem – model aditiv, gaussian cu medie 0, alb}$$



Kalman tracking

Modelul masuratorii

$$\mathbf{z}_k = \begin{bmatrix} 1 & 0 & 0 & 0 \\ 0 & 1 & 0 & 0 \end{bmatrix} \begin{bmatrix} \mathbf{p}_k \\ \mathbf{v}_k \end{bmatrix} + \boldsymbol{\mu}_k$$

$\boldsymbol{\mu}_k$ – zgomotul masuratorii

Exemplu implementare OpenCV:

<http://opencvexamples.blogspot.com/2014/01/kalman-filter-implementation-tracking.html>

Tutorial Kalman filter (1D):

<https://www.kalmanfilter.net/default.aspx>

Tutorial Kalman filter pt. urmarirea miscarii unui punct / obiect in spatiul 2D
(miscare cu acceleratie constanta)

<http://www.youtube.com/watch?v=GBYW1j9IC1I>

<http://www.youtube.com/watch?v=Jq8Hclar68Y>



Aplicatii tracking

Beneficii Tracking:

- Rezolvarea problemei datelor/ masuratorilor lipsa, ocluziilor etc.
- Reducerea timpului de cautare/procesare
- Estimarea parametrilor dinamici ai miscarii (viteza, traiectorie etc.)

Alte metode/filtre folosite in tracking:

- particle filtering, mean-shift

Exemple aplicatii Tracking:

- Urmarire trasaturi (colturi etc.) sau obiecte in imagini succesive
- Preprocesare in recunoasterea scrisului de mana (determinarea randurilor cu text)
-



Bibliografie

[1] Trucco E., Verri A, Introductory techniques for 3D Computer Vision, Prentice Hall, 1998, pp. 198 – 203 si 328 – 333

[2] Pyramidal Implementation of the Lucas Kanade Feature Tracker - Description of the algorithm, Jean-Yves Bouguet, Intel Corporation Microprocessor Research Labs, jean-yves.bouguet@intel.com
http://robots.stanford.edu/cs223b04/algo_tracking.pdf

[3] B. Kisacanin, V. Pavlovic, T.S. Huang, Real-Time Vision for Human-Computer Interaction, Springer 2005, pp.27-29